

Xymena Mazur-Badura, Michał Krasodowski
Instytut Nafty i Gazu, Kraków

Charakterystyka składu strukturalno-grupowego olejów napędowych i średnich frakcji naftowych z zastosowaniem GC/MS

Wstęp

Paliwa uzyskiwane z ropy naftowej, a szczególnie komponowane z udziałem średnich destylatów, są niezwykle złożonymi mieszaninami różnych grup węglowodorów. Złożoność ta jest wynikiem lawinowo rosnącej liczby struktur izomerycznych przy wzroście temperatury wrzenia frakcji. Wiąże się to z rosnącą liczbą atomów węgla w destylujących w coraz wyższej temperaturze cząsteczkach węglowodorów i wzrastającą wraz z nią liczbą sposobów uporządkowania tworzących je atomów węgla, zarówno w strukturach węglowodorów parafinowych, jak i podstawników w alkilonaftenach czy alkiloarenach (izomeria konstytucyjna). Dodatkowy wzrost liczby składników frakcji jest związany z możliwością występowania różnic w strukturach przestrzennych węglowodorów (stereoizomeria).

Destylowana frakcja naftowa jest w pełni zdefiniowana, gdy znana jest zawartość i budowa wszystkich jej komponentów, jednak z powodu różnorodności i znacznej liczby składników w destylatach naftowych wrzących powyżej około 200°C (średnie destylaty) tak dokładne określenie ich składu jest obecnie niemożliwe. Mówiąc ogólnie, węglowodory występujące w średnich destylatach naftowych mogą być, dla zastosowań praktycznych, definiowane przez podanie liczby atomów tworzącego je węgla albo poprzez rodzaj struktury molekularnej. Z tego względu zwykle nie oznacza się indywidualnych składników w wyżej wrzących frakcjach naftowych, natomiast charakteryzuje się je pod względem zawartości poszczególnych grup węglowodorów, tj. parafin, naftenów i arenów, co jest zadaniem analizy składu strukturalno-grupowego. W praktyce oznacza to poznanie statystycznej dystrybucji określonych elemen-

tów strukturalnych w badanej frakcji, bez względu na to, w jakim konkretnym połączeniu znajduje się określony element strukturalny [15]. Informacje o dystrybucji we frakcjach naftowych struktur o określonej liczbie atomów węgla uzyskuje się najczęściej metodami destylacyjnymi w połączeniu z oznaczaniem mas cząsteczkowych wąskich destylatów. Ocenę składu strukturalno-grupowego prowadzi się (tablica 1) metodami chromatograficznymi, w tym głównie klasyczną chromatografią elucyjną [4, 5, 6, 14].

Zastosowanie chromatografii gazowej do bezpośredniej analizy składników frakcji z destylacji ropy naftowej natrafia na wiele ograniczeń. Przede wszystkim, jak już wspomniano, liczba możliwych składników frakcji o określonym zakresie temperatury destylacji rośnie gwałtownie wraz ze zwiększaniem się ich masy cząsteczkowej, co gorsza – towarzyszy temu zmniejszanie się różnic właściwości fizykochemicznych (powinowactwo sorpcyjne) związków będących izomerami. To zjawisko jest przyczyną znacznych trudności, a czasem wręcz braku możliwości wydzielenia i identyfikacji pojedynczego związku z destylatów naftowych techniką chromatografii gazowej. Techniki te co prawda pozwalają na właściwie pełną identyfikację składników frakcji benzynowych [3], lecz już badania składu cięższych frakcji naftowych nie dają oczekiwanych rezultatów. Dopiero sprzężenie chromatografu gazowego z detektorem mas (GC/MS) umożliwiło głębsze poznanie typów struktur węglowodorów występujących w średnich destylatach (zakres wrzenia od około 200°C do 350°C).

Istotą GC/MS jest wykorzystanie połączenia zalet spektrometrii mas, zastosowanej jako narzędzia identyfikacji

Tablica 1. Zestawienie znormalizowanych metod oznaczania składu strukturalno-grupowego produktów naftowych techniką chromatografii elucyjnej [4, 5, 6, 14]

Norma	Tytuł normy	Stosowane sorbenty	Stosowane eluenty
PN-72/C-04025	Oznaczanie składu grupowego metodą chromatografii elucyjnej	– żel krzemionkowy – tlenek glinu	– eter naftowy – benzen – etanol
ASTM D 2007	Standard Test Method for Characteristic Groups in Rubber Extender and Processing Oils and Other Petroleum-Derived Oils by the Clay-Gel Absorption Chromatographic Method	– żel krzemionkowy – attapulgit	– n-pentan – toluen – aceton
ASTM D 4124	Standard Test Method for Separation of Asphalt into Four Fractions	– tlenek glinu	– n-heptan – toluen – metanol – trichloroetylen
ASTM D 2549	Standard Test Method for Separation of Representative Aromatics and Nonaromatics Fractions of High-Boiling Oils by Elution Chromatography	– żel krzemionkowy – tlenek glinu	

substancji organicznych, z techniką ich rozdziału w fazie gazowej. Zastosowanie niepolarniej kolumny chromatograficznej skutkuje rozdziałem komponentów mieszaniny, praktycznie zgodnym z ich temperaturami wrzenia, a możliwość rejestracji widma mas pojedynczego składnika umożliwia jego identyfikację. Rozwój techniki komputerowej z jednej strony, a z drugiej doskonalenie techniki separacji jonów wytworzonych w źródle spektrometru mas umożliwiającą rejestrację widm mas składników pików chromatograficznych niemal w czasie rzeczywistym, co z kolei stało się podstawą tworzenia map występowania określonych jonów we frakcjach eluowanych z kolumny chromatograficznej. Niestety, już w przypadku analizy średnich destylatów stosunkowo rzadko można obserwować na chromatogramie wyraźny pik (zwykle n-parafin), częściej poddaje się analizie spektrometrycznej określoną frakcję chromatograficzną, zawierającą wiele połączeń.

W przypadku mieszanin wieloskładnikowych ilościowa interpretacja widma mas jest stosunkowo trudna. Wykorzystanie warunków wzbudzenia preferujących powstawanie pików molekularnych (zastosowanie niskiej energii jonizacji) znacznie obniża czułość analizy i wymaga większych ilości substancji, a to wpływa negatywnie zarówno na pracę kolumny chromatograficznej, jak i na czystość źródła jonów. Zastosowanie warunków standardowych dla wzbudzenia strumieniem elektronów (70 eV) prowadzi z kolei do tworzenia znacznej liczby jonów fragmentacyjnych, niekiedy o tej samej masie, a pochodzących od różnych składników mieszaniny. Z tego względu wykorzystanie techniki GC/MS do ilościowej oceny składu mediów węglowodorowych opiera się przede wszystkim na badaniach doświadczalnych [10].

Analiza składu grupowego metodą spektrometrii mas była rozwijana w XX w., wyniki tych badań opisują m.in. prace Hooda [7, 11], Fitzgeralda [8], Snydera [16] i Gehrona [9]. Wszyscy ci autorzy zakładają, że widmo mas mieszaniny węglowodorów jest sumą widm poszczególnych składników frakcji naftowej, a obserwowane w nim piki stanowią sumę pików o tym samym m/e pochodzących od tych składników. Inaczej mówiąc, intensywność piku o określonej wartości m/e jest sumą intensywności odpowiednich pików powstałych w wyniku jonizacji każdego związku obecnego w mieszaninie. Częstkowa wartość intensywności piku o określonym m/e , pochodzącego od określonego związku, jest z kolei zależna od stężenia tego związku w mieszaninie oraz od intensywności tego piku w jego widmie mas. Wynika z tego, że rozwiązując odpowiednio rozbudowany układ równań liniowych, można określić udział poszczególnych typów związków w badanej frakcji.

Problemem jest to, że różne struktury węglowodorowe mają różną energię jonizacji i ich rozpad na jony fragmentacyjne jest zróżnicowany, a energia ta zależy również od wielkości cząsteczki. W badaniach, a następnie w normach (ASTM D 2425 [1] i ASTM D 2786 [2]) wyróżniono do piętnastu grup związków o podobnych schematach fragmentacji: parafiny, izoparafiny, cykloparafiny nieskondensowane, bi-, tri-, tetra- penta-, heksacykloparafiny, alkilobenzeny, indany i tetraliny, indeny, naftalen i naftaleny, acenafteny, acenaftyleny oraz tricykliczne węglowodory aromatyczne. Metoda ASTM D 2425 pozwala na wyznaczenie składu grupowego z widma mas średnich destylatów naftowych (204÷343°C) przy zastosowaniu klasycznej jonizacji elektronami o energii 70 eV. Rejestruje

się prąd jonowy dla m/e od 40 do 292. Badane mogą być produkty o średniej liczbie atomów węgla pomiędzy C_{12} a C_{16} , zawierające parafiny o liczbie atomów węgla od C_{10} do ok. C_{18} . Próbkę mogą być dzielone na frakcję nasyconą

i arenową, zgodnie z metodą ASTM D 2549, i analizowane odrębnie. Oznaczanych jest jedenaście grup węglowodorów wymienionych wraz z zestawami mas charakterystycznych w tablicy 2.

Tablica 2. Liczby masowe przyjęte do wyznaczenia współczynników wykorzystywanych w obliczeniach składu grupowego średnich destylatów według ASTM D 2425 [1]

Związki	m/e
$\Sigma 71$ Alkany	71+85
$\Sigma 67$ Mono- i/lub nieskondensowane policykloparafiny	67+68+69+81+82+83+96+97
$\Sigma 123$ Skondensowane dicykloparafiny	123+124+137+138+151+152+165+166+179+180+193+194+207+208+221+222+235+236+249+250
$\Sigma 149$ Skondensowane tricykloparafiny	149+150+163+164+177+178+191+192+205+206+219+220+233+234+247+248
$\Sigma 91$ Alkilobenzeny	91+92+105+106+119+120+133+134+147+148+161+162+175+176
$\Sigma 103$ Indany/tetraliny	103+104+117+118+131+132+145+146+159+160+173+174+187+188
$\Sigma 115$ Indeny	115+116+129+130+143+144+157+158+171+172+185+186
$\Sigma 141$ Naftaleny	141+142+155+156+169+170+183+184+197+198+211+212+225+226+239+240
$\Sigma 153$ Acenafteny	153+154+167+168+181+182+195+196+209+210+223+224+237+238+251+252
$\Sigma 151$ Acenaftyleny	151+152+165+166+179+180+193+194+207+208+221+222+235+236+249+250
$\Sigma 177$ Tricykliczne areny	177+178+191+192+205+206+219+220+233+234+247+248

Część eksperymentalna

W związku z brakiem metod analitycznych umożliwiających szerszą charakterystykę składu strukturalno-grupowego frakcji naftowych o temperaturach wrzenia wykraczających poza zakres benzyn ($< 200^\circ\text{C}$) istnieje potrzeba rozpoznania tej tematyki zwłaszcza w obszarze rozróżniania struktur naftenowych i parafinowych, trudnych do oznaczenia innymi metodami. Do określania składu strukturalno-grupowego szerokiego zakresu średnich destylatów naftowych wykorzystano GC/MS. Badaniom poddano lekki olej opałowy, paliwo do lotniczych silników turboodrzutowych, paliwo żeglugowe, olej napędowy i frakcję ropy naftowej uzyskanej z destylacji o zakresie temperatur wrzenia $250\div 300^\circ\text{C}$.

Badania prowadzono, wzorując się na zaleceniach normy ASTM D 2425, dotyczącej badania średnich destylatów techniką spektrometrii mas z bezpośrednim wprowadzaniem próbki do źródła jonów. Założono, że suma widm mas wszystkich eluowanych frakcji chromatograficznych uzyskiwanych podczas rozdziału badanego średniego destylatu nie różni się w istotny sposób od widma uzyskiwanego przez bezpośrednie wprowadzenie analitu do spektrometru mas.

Przeprowadzono optymalizację warunków analizy techniką GC/MS i zarejestrowano prąd jonowy dla charaktery-

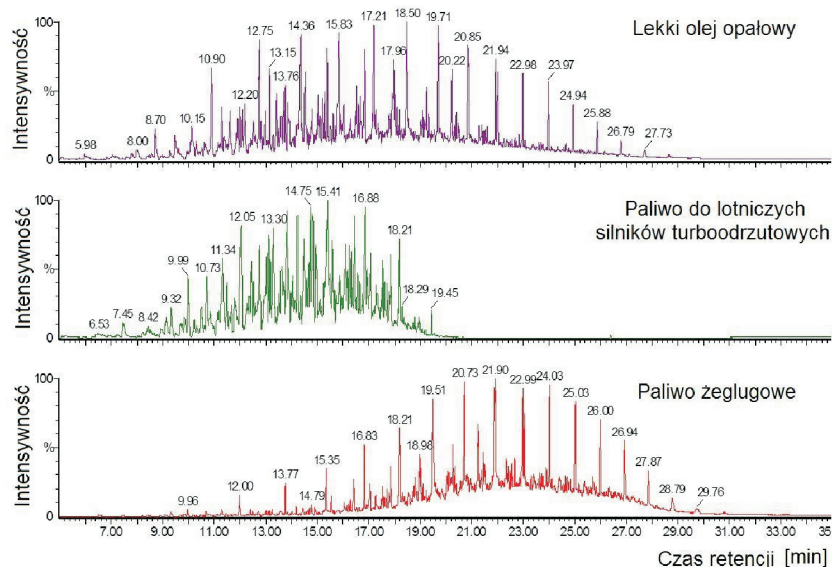
stycznych mas analizowanych grup związków (tablica 2). Wdrożono procedurę obliczeniową zawartą w normie, umożliwiającą wyznaczenie procentowej zawartości w badanym produkcie: alkanów, cykloparafin, alkilobenzenów, indanów, indenów, naftalenów, acenaftenów, acenaftylenów i trójpierścieniowych arenów. W badaniach wykorzystano chromatograf gazowy Clarus 500 firmy PerkinElmer z dozownikiem *split/splitless* z programowalnym sterownikiem pneumatycznym (PPC), wyposażony w kapilarną kolumnę chromatograficzną Elite 5 MS długości 30 m, o średnicy zewnętrznej 0,25 mm i grubości fazy rozdzielczej 0,5 μm . Fazą rozdzielczą był 5% difenylo-95% dimetylopolisiloksan. Chromatograf był sprzężony ze spektrometrem masowym Clarus 560D, wykorzystującym jonizację elektronową, wyposażonym w kwadrupolowy analizator mas i detektor – fotopowielacz. Pomiary prowadzono dla zakresu mas podlegających detekcji od 50 daltonów do 400 daltonów (amu), przy rozdzielczości detektora 0,1 amu. Aparat był sterowany komputerem z zainstalowanym oprogramowaniem TurboMas. Warunki pracy GC/MS zebrano w tablicy 3.

W celu przedstawienia możliwości badawczych GC/MS w zakresie oceny składu strukturalno-grupowego do badań wybrano trzy produkty handlowe z grupy średnich

Tablica 3. Warunki pracy GC/MS podczas analizy średnich destylatów ropy naftowej

Parametry pracy GC	Parametry pracy MS
Próbka o stężeniu ok. 5 mg/ml	Temp. linii transferowej – 200°C
Nastrzyk – 0,5 µl bez dzielnika strumienia, następnie split – 5	Temp. źródła – 180°C
Temp. dozownika – 300°C	Energia jonizacja EI – 70 eV
Przepływ gazu nośnego – 1 cm ³ /min	Zakres mas – 40÷400 u
Program temperaturowy pieca: <ul style="list-style-type: none"> ▪ 50°C – 5 min ▪ ogrzewanie do 300°C z prędkością 10°C/min 	Praca detektora: <ul style="list-style-type: none"> ▪ 0÷5 min – detektor wyłączony ▪ 5÷35 min – zbieranie danych

destylatów z ropy naftowej, tj. lekki olej opałowy, paliwo lotnicze JET oraz paliwo żeglugowe. Zarejestrowano chromatogramy badanych produktów, mierząc całkowity prąd jonowy (TIC – *Total Ion Current*) w zoptymalizowanych warunkach pracy GC/MS podanych w tablicy 3. Uzyskane chromatogramy badanych produktów przedstawiono na rysunku 1. Odzwierciedlają one różnice zakresów ich temperatur wrzenia i wskazują obszar czasów retencji, w których eluowane są składniki tych produktów. Dla lekkiego oleju opałowego zakres temperatur wrzenia wynosi 180÷360°C, dla paliwa lotniczego to 150÷290°C, a dla paliwa żeglugowego 200÷350°C.



Rys. 1. Chromatogram rejestrowany w trybie TIC dla: oleju opałowego – fioletowy, paliwa do lotniczych silników turboodrzutowych – zielony i paliwa żeglugowego – czerwony

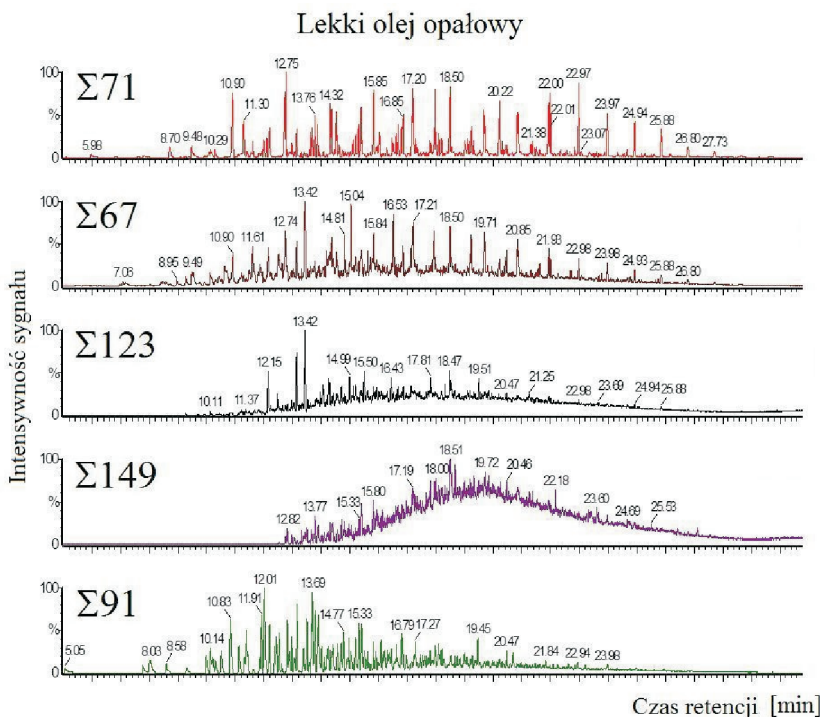
Dla wyznaczenia składu strukturalno-grupowego, zgodnie z normą ASTM D 2425, z danych GC/MS zarejestrowanych w trybie TIC dla badanych produktów uzyskano obrazy chromatograficzne, będące odzwierciedleniem intensywności prądu jonowego dla sum mas charakterystycznych dla oznaczanych, wybranych grup węglowo-

charakterystycznych, zgodnie z tablicą 2, odpowiednio dla: alkanów ($\Sigma 71$), mono- i/lub nieskondensowanych policykloparafin ($\Sigma 67$), skondensowanych dicykloparafin ($\Sigma 123$), skondensowanych tricykloparafin ($\Sigma 149$) i alkilobenzenów ($\Sigma 91$). Intensywność określona na chromatogramach jako 100% odpowiada wartości sygnału $4 \cdot 10^9$. Pozostałe grupy związków, zgodnie z tablicą 2, to jest: indany ($\Sigma 103$), indeny ($\Sigma 115$), naftaleny ($\Sigma 141$), acenafteny ($\Sigma 153$), acenaftyleny ($\Sigma 151$) i areny trójpierścieniowe ($\Sigma 177$), dają sygnały dziesięciokrotnie słabsze. Z tego względu pełnemu zakresowi skali intensywności odpowiada wartość sygnału $4 \cdot 10^8$.

Można na tym przykładzie zaobserwować, że intensywności pików nasyconych układów policyklicznych w miarę zwiększania liczby pierścieni są coraz mniejsze. Intensywności pików chromatogramu odpowiadającego alkilobenzenom są porównywalne z tricykloparafinami. Jak widać, największe intensywności pików są obserwowane dla alkanów, monocykloparafin i dicykloparafin, natomiast intensywność odpowiadająca związkom aromatycznym jest około dziesięciokrotnie mniejsza.

Intensywność każdego pików w chromatogramach przedstawionych na rysunkach 2 i 3 jest wynikiem sumowania wybranych, zgodnie z tablicą 2, pików widm mas związków eluowanych z kolumny przy danym czasie retencji. Z tak uzyskanej sumarycznej intensywności wybranych pików widma mas, przy zastosowaniu

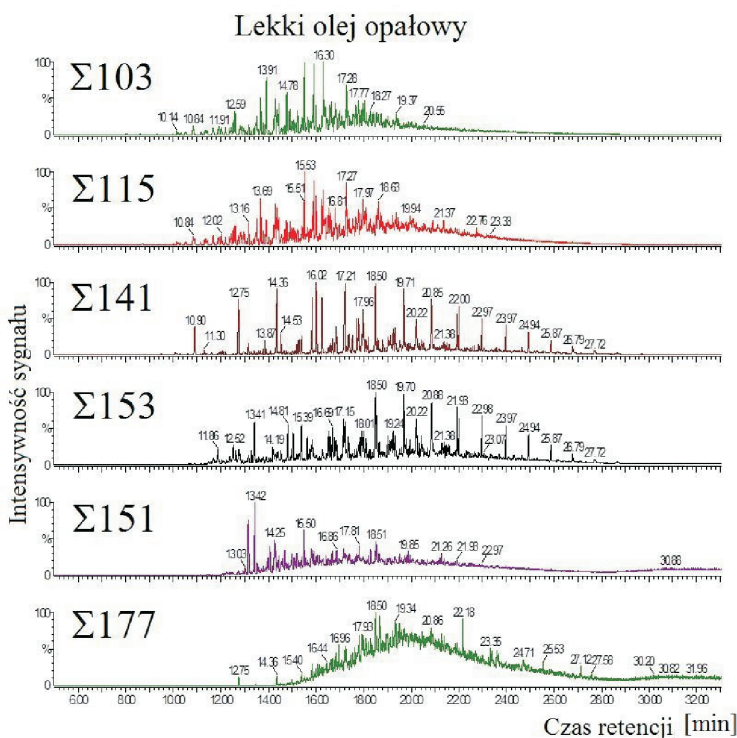
złożonych przeliczeń wykorzystujących stabilizowane w normie współczynniki, można obliczyć skład grupowy, czyli zawartość wymienionych grup związków w procentach masowych. Nie można bowiem, z powodu złożonego składu każdej eluowanej frakcji chromatograficznej, wprowadzanej do źródła jonów, i różnego stopnia jonizacji każdego z



Rys. 2. Chromatogramy sum mas charakterystycznych dla poszczególnych grup związków według tabeli 2:

- Σ71 alkanany – czerwony,
- Σ67 monocykloparafiny – brązowy,
- Σ123 dicykloparafiny – czarny,
- Σ149 tricykloparafiny – fioletowy,
- Σ91 alkilobenzeny – zielony.

Uwaga: intensywność 100% odpowiada sygnałowi o intensywności $4 \cdot 10^9$



Rys. 3. Chromatogramy sum mas charakterystycznych dla poszczególnych grup związków według tabeli 2:

- Σ103 indany – ciemnozielony,
- Σ115 indeny – czerwony,
- Σ141 naftaleny – brązowy,
- Σ153 acenafteny – czarny,
- Σ151 acenaftyleny – fioletowy,
- Σ177 trójpięściennowe aromaty – jasnozielony.

Uwaga: intensywność 100% odpowiada sygnałowi o intensywności $4 \cdot 10^8$

związków, dokonywać bezpośredniej interpretacji wyników uzyskanych na przedstawionych chromatogramach.

Poniżej przedstawiono przykładowy schemat obliczania składu grupowego.

W celu określenia zawartości alkanów, cykloparafin, alkilobenzenu, indanów, indenów, naftalenów, acenaftenów, acenaftylenów i arenów trójpięściennowych w procentach masowych należy najpierw obliczyć średnią liczbę atomów węgla w badanym produkcie.

Średnia liczba atomów węgla (A) w cząsteczce to parametr charakteryzujący wielkość cząsteczek w danej grupie związków. Wartość tego parametru oblicza się dla dwóch grup związków: alkilobenzenu i naftalenów, które najłatwiej tworzą piki molekularne. Dla tych grup ustalono odpowiednie współczynniki izotopowe i współczynniki czułości molowej, zależne od założonej liczby atomów węgla (n). Wyznaczenie średniej liczby atomów węgla w analizowanym produkcie polega na po-

miarze intensywności odpowiednich jonów macierzystych (m) i jonów ($m-1$), obliczeniu udziału molowego dla danego homologu zgodnie z równaniem (1) i dokonaniu obliczeń zgodnie z równaniem (2).

$$\mu_n = [P_m - P_{m-1}(K_1)]/K_2 \quad (1)$$

$$A = (\sum_{n=10}^{n=18} n \cdot \mu_n) / (\sum_{n=10}^{n=18} \mu_n) \quad (2)$$

gdzie:

μ_n – udział molowy dla cząstek o zadanej liczbie atomów węgla,

P_m – intensywność pików o masie m odpowiadającej cząsteczkom o zadanej liczbie atomów węgla,

P_{m-1} – intensywność pików o masie cząsteczkowej $m-1$,

K_1 – współczynnik izotopowy,

K_2 – współczynnik czułości molowej,

A – średnia liczba atomów węgla w cząsteczce,

n – założona liczba atomów węgla w cząsteczce.

Na podstawie wyznaczonej średniej wartości liczby atomów węgla w alkilobenzenach przyjmuje się ich odpowiednią liczbę dla parafin i cykloparafin (tablica 4).

Tablica 4. Związki pomiędzy obliczoną średnią liczbą atomów węgla w alkilobenzenach a ich średnią liczbą w parafinach i cykloparafinach w eluowanych frakcjach naftowych [1]

Średnia liczba atomów węgla	
Alkilobenzeny	Parafiny i cykloparafiny
10	11
11	12
12	13
13	15 (14,5)
14	16 (15,5)

Oszacowanie średniej liczby atomów węgla w pozostałych grupach węglowodorów nie jest wymagane i przyjmuje się, że jest ona równa wartości obliczonej dla naftalenów, z tym że dla arenów tricyklicznych przyjmuje się ją jako nie niższą od 14.

Istotą metody oznaczania składu strukturalno-grupowego destylatów naftowych jest rozwiązanie układu równań liniowych wiążących sumaryczne wartości intensywności pików o wybranych stosunkach m/e z wyznaczonymi eksperymentalnie współczynnikami udziału w nich poszczególnych grup węglowodorów. Znając średnią liczbę atomów węgla w poszczególnych grupach oznaczanych związków, można, korzystając z tablicy 5, odczytać współczynniki, jakie należy wprowadzić do układu równań liniowych.

Tablica 5. Zestawienie współczynników równań liniowych (a_i) dla poszczególnych wartości średniej liczby atomów węgla (l. at. C) [1]

l. at C	Parafiny			Monocykloparafiny		Bicykloparaf.		Tricykloparaf.		Alkilobenzeny			Indany i tetraliny			Indeny			Naftaleny			Acenaftyleny i CnH2n-16			Tricykl. areny				
	12	13	14,5	15,5	12	13	14,5	15,5	13	14,5	15,5	11	12	13	14	10	11	12	13	10	11	12	13	12	13	12	13	14	
$\Sigma 71$	100	100	100	100	4	6	2	1,1	1,5	1	2	0,3	0,4	0,5	0,2	0,4	0,4	1	0,3	1,7	5,2	1,5	2	1	1	1	1	0,6	
$\Sigma 67$	19	21	23	26	100	100	100	160	130	150	170	0,7	0,7	2	3	0,6	1	2	0,3	6	1,2	1,5	2	0,3	2	1	5	0,7	
$\Sigma 123$			0,1	0,2	1	1	3	100	100	26	10	0,1	0,1	0,2	0,3	0,1	1	2	0,4	4,8	0,2	0,5	7,8	4					
$\Sigma 149$							0,2	5	8	100	100	1,3	1	1,5	2	0,4	0,2	0,3	0,9	0,9	0,1	0,7	0,5						
$\Sigma 91$	0,4	0,4	0,4	0,4			4	4	5	15	15	20	100	100	100	15	18	17	15	6,2	0,1	0,9	1	1	0,1	5	1	3	18
$\Sigma 103$										1		3	9	10	10	100	100	100	1,5	20,3	0,6	0,1	0,1	3	0,2	3	1,5		
$\Sigma 115$	0,5				1	1	1	0,5				4,4	4,5	5	5	20	28	25	25	100	11,4	23	19	0,8	0,8	0,3	2,7	1	
$\Sigma 128$															12						100	0,7	5,6	1	0,7	0,2	0,1	0,8	
$\Sigma 141$	9	9	10	12						0,1	0,1	0,4			3	5,4	7			13	100	100	100	8	10	1	15	0,3	
$\Sigma 153$					1	2	2	2												28				100	100	17	15	3,5	
$\Sigma 151$					1	5	7	10												6,1				8	100	100	20	30	
$\Sigma 177$							2	2												4,5				7	7	27	100	100	
																				0,6						4	15	100	

W przypadku wyznaczania składu strukturalno-grupowego średnich destylatów z ropy naftowej otrzymuje się układ jedenastu równań o jedenastu niewiadomych. Układ takich równań liniowych pozwalający na uzyskanie jednoznacznych wyników powinien składać się z co najmniej takiej liczby równań jak liczba obliczanych zmiennych. Można więc zapisać go w postaci macierzy, w której wierszach zostaną umieszczone współczynniki równania, związane z poszczególnymi zmiennymi, oraz wartość wyrazu wolnego – kolumny będą reprezentować parametry równania związane z określoną zmienną. Poniżej przedstawiono zapis układu równań liniowych w postaci macierzowej. W wierszach umieszczone zostały współczynniki równania (a_i), związane z poszczególnymi zmiennymi (x_i), oraz wartość wyrazu wolnego (b_i).

Układ równań liniowych:

$$\begin{aligned} a_{11}x_1 + a_{12}x_2 + a_{13}x_3 + \dots + a_{1n}x_n &= b_1 \\ a_{21}x_1 + a_{22}x_2 + a_{23}x_3 + \dots + a_{2n}x_n &= b_2 \\ \dots & \\ a_{n1}x_1 + a_{n2}x_2 + a_{n3}x_3 + \dots + a_{nn}x_n &= b_n \end{aligned}$$

Zapis macierzowy:

$$\mathbf{W} \cdot \mathbf{x} = \mathbf{b} \quad (3)$$

$$\begin{bmatrix} a_{11} & a_{12} \dots & a_{1n} \\ a_{21} & a_{22} \dots & a_{2n} \\ \dots & \dots & \dots \\ a_{n1} & a_{n2} \dots & a_{nn} \end{bmatrix} \cdot \begin{bmatrix} x_1 \\ x_2 \\ \dots \\ x_n \end{bmatrix} = \begin{bmatrix} b_1 \\ b_2 \\ \dots \\ b_n \end{bmatrix}$$

Kolejne etapy rozwiązywania tego rodzaju układu równań są szczegółowo opisane w literaturze [12, 13].

W skrócie, po sprawdzeniu, czy wyznacznik macierzy współczynników (\mathbf{W}) nie jest równy zero, czyli gdy istnieje rozwiązanie układu, wyznacza się macierz odwróconą (\mathbf{W}^{-1}) i mnoży przez nią lewostronnie równanie (3). W wyniku otrzymujemy (w zapisie macierzowym):

$$\mathbf{W}^{-1} \cdot \mathbf{W} \cdot \mathbf{x} = \mathbf{W}^{-1} \cdot \mathbf{b}$$

ponieważ

$$\mathbf{W}^{-1} \cdot \mathbf{W} = \mathbf{I} \text{ (macierz jednostkowa)}$$

$$\mathbf{I} \cdot \mathbf{x} = \mathbf{x}$$

zatem

$$\mathbf{x} = \mathbf{W}^{-1} \cdot \mathbf{b} \quad (4)$$

Uzyskane równanie (4) jest rozwiązaniem układu równań.

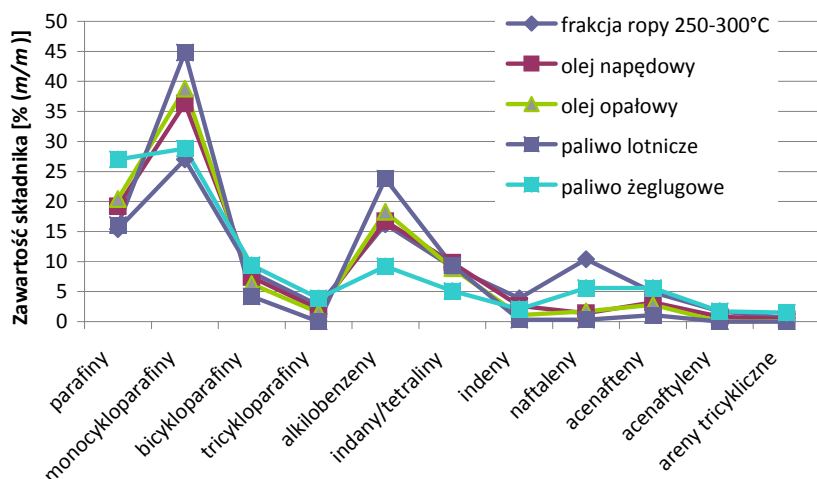
W przypadku wyznaczania wartości zmiennych spełniających układ równań uzyskany podczas analizy lekkiego oleju napędowego stosowano program obliczeniowy Excel 2007 z pakietu Microsoft Office. Należy zauważyć, że zastosowanie w obliczeniach funkcji odwracania macierzy umożliwia osiągnięcie bardziej precyzyjnych wyników od klasycznego obliczania wartości wyznaczników, co jest efektem zaokrąglania dużych liczb podczas obliczeń.

W tablicy 6 przedstawiono wyniki obliczeń zawartości poszczególnych składników w badanych produktach (zmiennie x_1 do x_{11}), uzyskane zgodnie z przedstawionym schematem postępowania, wyrażone w procentach masowych. Taką samą gamą kolorów zaznaczono zawartości: parafin (ciemnopomarańczowy), naftenów (żółty) i węglowodorów aromatycznych (zielony).

Analizując uzyskane wyniki, zaobserwowano podobny przebieg zależności zawartości określonego rodzaju połączeń od ich budowy strukturalnej, co ma związek z tym, że badane

Tablica 6. Wyznaczony skład strukturalno-grupowy badanych średnich destylatów

Grupa związków	Frakcja z ropy 250÷300°C	Olej napędowy	Olej opałowy	Paliwo lotnicze	Paliwo żeglugowe
		% (m/m)			



Rys. 4. Graficzna interpretacja różnic składu produktów uzyskiwanych ze średnich destylatów z ropy naftowej

produkty mają zbliżony zakres temperatur wrzenia i wartość średniej liczby atomów węgla (parametr charakteryzujący wielkość cząsteczki) w analizowanych grupach związków. Różnice przebiegu krzywych składu na wykresie obserwuje się wyraźnie dla frakcji ropy naftowej (surowca do uzyskiwania pozostałych produktów) i pozostałych produktów,

zwłaszcza w zawartości alkilobenzenów i naftalenów (w paliwie lotniczym zawartość naftalenów wynosi około 0,3% (m/m)).

Oznaczanie składu strukturalno-grupowego techniką GC/MS stwarza dużo większe możliwości analityczne niż zastosowanie klasycznych technik chromatografii elucyjnej. Uzyskuje się informacje o zawartości aż jedenastu grup związków: alkanów, mono-, di-, tricykloparafin, alkilobenzenów, indanów, indenów, naftalenów, acenaftenów, acenaftylenów i trójpięścieniowych arenów. Metodami klasycznego rozdzielania chromatograficznego można oznaczyć tylko zawartość węglowodorów parafinowo-naftenowych i arenów. W związku z rosnącymi wymaganiami dotyczącymi paliw silnikowych, którymi są średnie destylaty naftowe i uzyskiwane z nich produkty, dokładniejsza charakterystyka składu strukturalno-grupowego techniką GC/MS jest pożądana i może dostarczyć informacji ułatwiających zarówno optymalizację procesów technologicznych, jak i poprawę jakości uzyskiwanych produktów.

Literatura

- [1] ASTM D 2425-04 *Standard Test Method for Hydrocarbon Types in Middle Distillates by Mass Spectrometry*.
- [2] ASTM D 2786-91 (2006) *Standard Test Method for Hydrocarbon Types Analysis of Gas-Oil Saturates Fractions by High Ionizing Voltage Mass Spectrometry*.
- [3] ASTM D 5134-98 (2008) *Standard Test Method for Detailed Analysis of Petroleum Naphthas through n-Nonane by Capillary Gas Chromatography*. ASTM D2007-03 (2008) *Standard Test Method for Characteristic Groups in Rubber Extender and Processing Oils and Other Petroleum-Derived Oils by the Clay-Gel Absorption Chromatographic Method*.
- [4] ASTM D2549-02 (2007) *Standard Test Method for Separation of Representative Aromatics and Nonaromatics Fractions of High-Boiling Oils by Elution Chromatography*.
- [5] ASTM D4124-09 *Standard Test Method for Separation of Asphalt into Four Fractions*.
- [6] Clerc R. J., Hood A., O'Neal M. J. Jr.: *Mass Spectrometric Analysis of High Molecular Weight Saturated Hydrocarbons*. „Analytical Chemistry” 1955, vol. 27, no. 6, s. 868–875.
- [7] Fitzgerald M. E., Cirillo V. A., Galbraith F. J.: *Mass Spectrometric Method for Analysis of Petroleum Distillates in the Furnance Oil-Kerosine Boilind Range*. „Analytical Chemistry” 1962, vol. 34, no. 10, s. 1276–1280.
- [8] Gehron M. J., Yost R. A.: *Hydrocarbon-Type Analysis of Jet Fuel with Gas Chromatography/Mass Spectrometry*. Novel Techniques in Fossil Fuel Mass Spectrometry. ASTM STP 1019, 1989, s. 24–37.
- [9] Grob R. L., Barry E. F.: *Modern Practice of Gas Chromatography*. John Wiley & Sons, Inc., 2004.
- [10] Hood A., O'Neal M. J.: *Status of Application of Mass Spectrometry to Heavy Oil Analysis* [w:] *Advances in Mass Spectrometry*. Wyd. IP, 1959, s. 175–192.
- [11] Kryszicki W., Włodarski L.: *Analiza matematyczna w zadaniach. Część I*. Warszawa, PWN, 1999, s. 175.
- [12] Meyer C. D.: *Matrix Analysis and Applied Linear Algebra*. SIAM, 2000.
- [13] PN-72/C-04025 *Oznaczanie składu grupowego węglowodorów metodą chromatografii elucyjnej*.
- [14] Riazi M. R.: *Characterization and Properties of Petroleum Fractions*. ASTM manual Series: MNL50, 2005.
- [15] Snyder L. R., Howard H. E., Ferguson W. C.: *Direct Mass Spectrometric Analysis of Petroleum Samples Boiling in Kerosine Range*. „Analytical Chemistry” 1963, vol. 35, no. 11, s. 1676–1679.



Mgr Xymena MAZUR-BADURA – absolwentka Wydziału Chemii Uniwersytetu Jagiellońskiego, Asystent w Zakładzie Analiz Naftowych Pionu Technologii Nafty Instytutu Nafty i Gazu w Krakowie. Zajmuje się realizacją prac naukowo-badawczych z zakresu mikroanalizy chemicznej.



Dr Michał KRASODOMSKI – główny analityk w Zakładzie Analiz Naftowych Pionu Technologii Nafty Instytutu Nafty i Gazu, specjalista w dziedzinie chemii organicznej i badań identyfikacyjnych.